

建設省土木研究所 正員 橋本 宏
建設省 東北地建 正員 白波瀬正道
建設省土木研究所 正員 ○宇多高明

1. まえがき 海岸には防災上、あるいは海岸の積極的利用のため突堤や離岸堤が造らかっている。これらの構造物が十分にその機能を有するよう設計するには、漂砂現象の理解が必要である。このため従来から現地観測、模型実験、数値計算が行はれてきた。しかし、この現象は多くの因子に依存し、支配的因素も明白ではなく、相似則も確立していよいよ。したがって、この現象に主に関連する因子である波、海流、底質及びその移動、地形等を同時に、総合的に調査することが是非とも必要である。本報では上記の観点に立って、昭和49年度に茨城県阿字ヶ浦海岸の漂砂観測用桟橋を利用して行なった現地観測の結果について報告する。

2. 観測の概要 観測地阿字ヶ浦は磯崎漁港から日立港に至る約10kmの南北に向かい砂浜海岸の南端に位置している。ここで行なった主要な観測項目は、(1)波高、(2)地形、(3)海流、(4)漂砂である。(1)の波高は、桟橋の先端に2本の塔量式波高検出器を取り付け、2時間おきに20分間ずつデータレコーダーに記録を取った。観測終了後データをAD変換し、有義波浪高、周期、波高分布、スペクトル等を計算した。(2)の地形測量は汀線沿いに15m間隔で計測線、沖方向に10点行った。(3)の海流の観測は気球にカメラを吊り、桟橋上空に上げ、一方桟橋から多数のフロートを投入し、一定の時間間隔でその写真をとり、こより海流の流速を求める方法(BACSシステム)を行なった。(4)の漂砂観測は、碎波帯に適当な間隔で螢光砂を投入し、その広がり状態をサンプリングによって調べる方法である。螢光砂は現地砂とルミノルインを混ぜて作り、投入時にはそれを海水に浸しておいた。投入位置は沿岸流の方向を確かめた上で決めたが、こより桟橋からフロートを投入した結果、流されが北へ南へ流れていることが明らかとなるため、桟橋の南のNO.13正面3m上とした。投入量は1カ所10kgを5点合わせて50kgを投入した。サンプリングは10cm×10cmの防水紙にグリースを塗り、こより支持棒に取り付け、海底に押しつけて行なった。

3. 観測結果と考察 図-1は深浅測量の結果である。特徴は、桟橋の北側(図上左側)に深い所があり、南側は浅くなっていることである。こより北側で碎波が遅く、南側で早いことを意味し、実際図上の碎波線は明らかに示してある。この結果として桟橋の北側では来襲波のエネルギーが南側より岸近くまで保存され、南北でエネルギー差が生ずる。このような地形変化によるエネルギー差は海流の発生に密接に関連していると

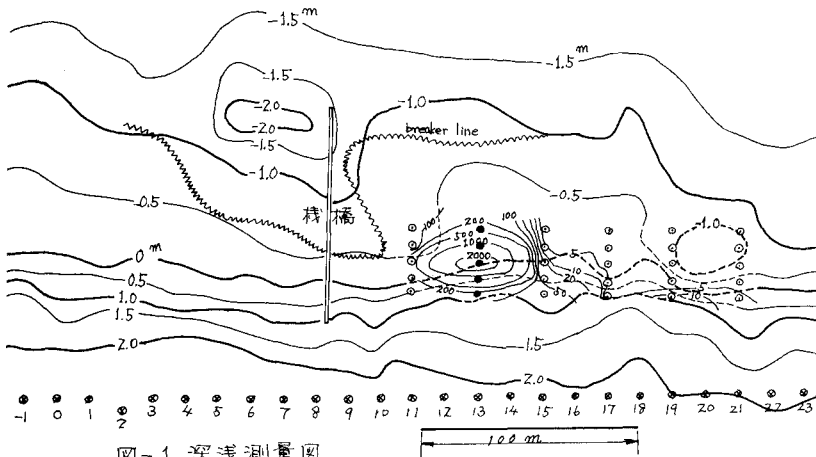


図-1 深浅測量図

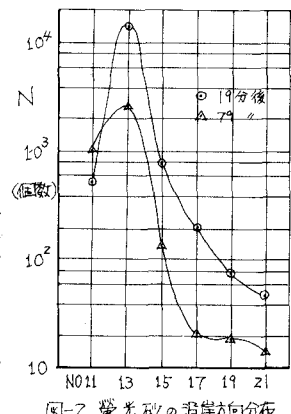


図-2 螢光砂の沿岸方向分布

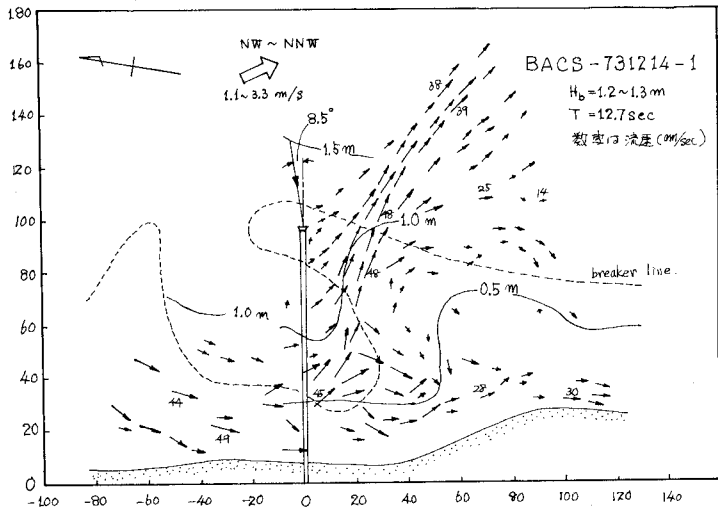


図-3 流況のベクトル図

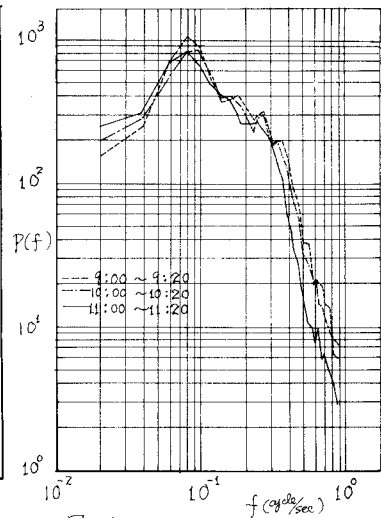


図-4 スペクトル

考らる。また図-1には螢光砂の分布も示されている。更に図-2は沿岸方向の螢光砂の分布を示している。但し、こからはサンプリング結果を \lg 当りの螢光砂数に変え、また時間補正を行つてある。図-2によれば、沿岸流があるにもかかわらず、(図-3より) $10\sim30\%$ 重に移動は少く、両側への拡散量が多い。こより非岸流よりも離岸に多く依存していることがわかる。したがつて投入点を決める場合にはその両側広く測定出来るようにする必要がある。次に図-3は流況のベクトル図である。この特徴は、(1)橋脚のすぐ南側に強い離岸流が生じてること、(2)沿岸流が北へ南へ流れていること(風向と一致している)、(3)離岸流の最大流速は約50%であること、等である。(1)の離岸流の発生地点が図-1で碎波線が橋脚の南側で急に屈曲する点(等深線が屈曲する点でもある)と極めて良く一致することは注意する必要がある。海浜流に対する地形の影響が極めて大きいと言えよう。図-5は波高、図-6は周期の確率分布を示す。波高はRayleigh 分布に近づいている。周期はGauss分布になると言わふるが、こもむしろRayleigh分布に近い。 $T=2.0\text{ sec}$ で明らかなピークがあるが、波高をゼロアップクロス法で求めたため水面の不規則な変動も一浪として計算したことによると考えられる。また表-1は有義波波高、周期を示す。最後に図-4は $\Delta t=0.5\text{ sec}$, $N=2400$ データを用いて計算したスペクトルである。漂砂、海浜流の観測は9:00～11:30 の間に行なわれたが、この間に波の大きな変化は見られない。碎波波高を測定しているため鋭いピークはないが、 $T=12.5\text{ sec}$ においてピークを持っている。

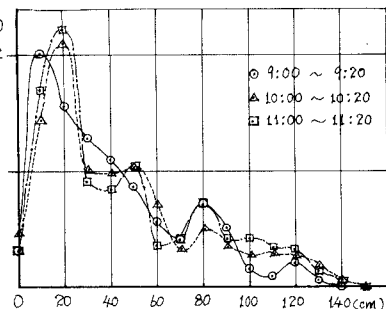


図-5 波高の確率分布

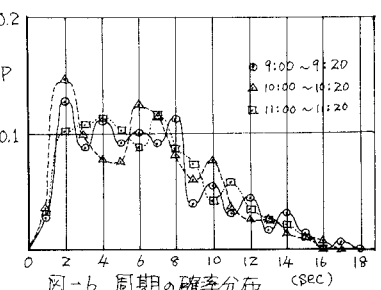


図-6 周期の確率分布

	平均	有義波	$1/\sigma$ 最大
9:00	波高(cm)	40.7	76.5
9:20	周期(sec)	6.12	9.51
10:00	波高	43.1	82.7
10:20	周期	5.93	9.13
11:00	波高	44.7	87.0
11:20	周期	6.10	9.04

表-1

4. あとがき　波、海浜流、地形、漂砂について一連の調査を行つた。しかししながら観測法についても種々の問題点があるので、今後それらを改良し、更に総合的な精度の高い現地調査を行い、データを積み合せて行なうたい。なおここでは詳しく述べられなかつた海浜流観測については海岸工学講演会で発表さるであろう。